



Team 03

Proposal Slide



Hello!

B04902083 莊翔旭

B04902048 蔡毓聰



A NEW COLOR CORRECTION METHOD FOR UNDERWATER IMAGING

G. Bianco^{a*}, M. Muzzupappa^b, F. Bruno^a, R. Garcia^b, L. Neumann^{b,c}

^a DIMEG, University of Calabria, 87036 Rende (CS), Italy
(gianfranco.bianco, muzzupappa, f.bruno)@unical.it

^b Computer Vision and Robotics Group, University of Girona, 17001, Spain
rafael.garcia@udg.edu

^c ICREA, Barcelona, Spain
lneumann@silver.udg.edu

1

Motivation

Waterproof camera?



防水相機興起

但拍出來的水下環境圖像大多都是藍藍綠綠的色調，且雜訊很多
有沒有可能可以透過演算法還原目標物在非水下環境的顏色？



水下作業拍攝



Extensions

- 水下考古文物還原真實色彩
- 幫助研究人員研究水下的生態狀況
- 套用其他影像處理, 例如 3D 建模, 物件辨識

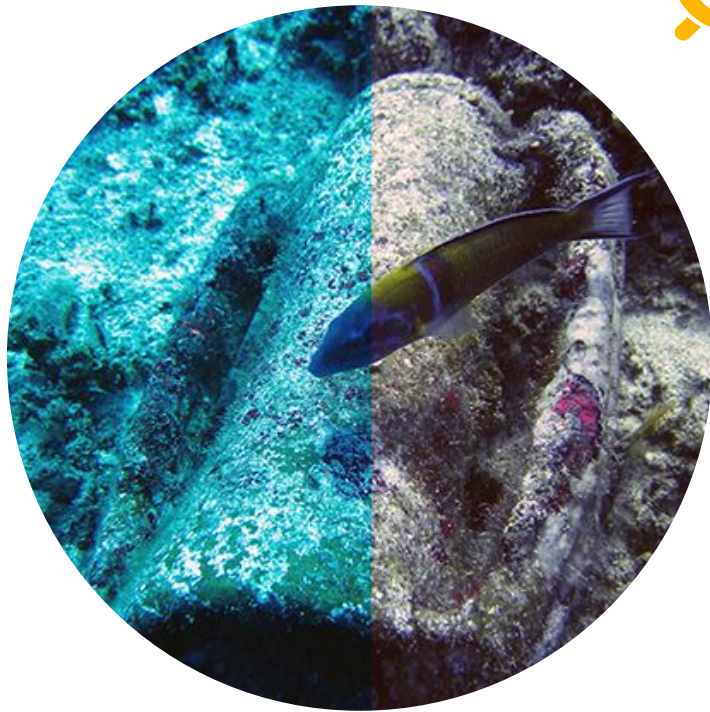
Problem definition

In minecraft: `/fill 0 0 0 x y z air replace water`



盡可能的 讓顏色還原正確

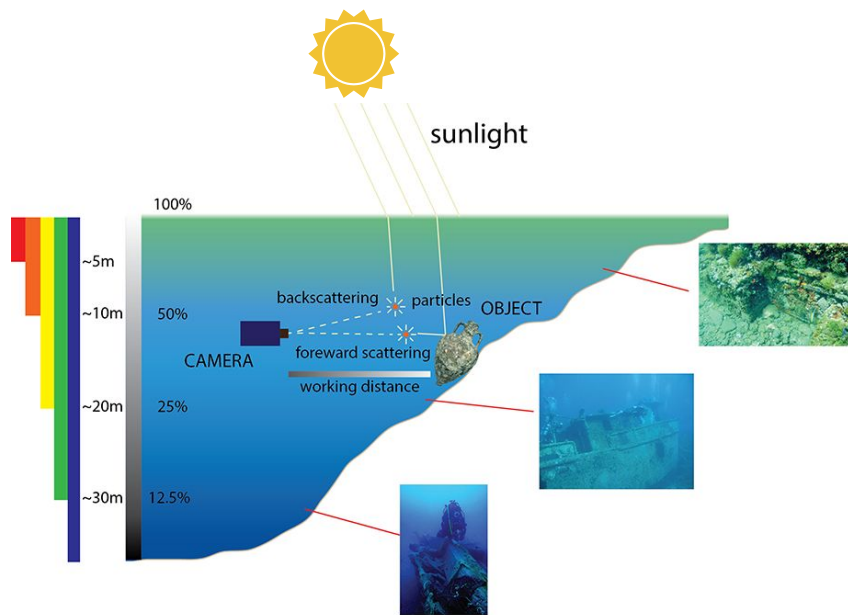
水下環境原圖像的目標物透過演算法
可以盡可能的還原成在非水下環境的
真實色彩。





盡可能的 讓顏色還原正確

光線穿過水會被分層吸收和散射，要還原顏色是很難的，也沒辦法確定結果是否是物體的真實色彩，所以是盡可能的接近。



Next Slide

3

Algorithm

Powered by ~~thanos infinity gauntlet~~ lab color space.



Assumptions

- Uniform light source
- Lambertian object surfaces
- Gray-world assumption

為了簡化複雜的水下的光線散射和折射變化，有以上的假設



Image Formation Model

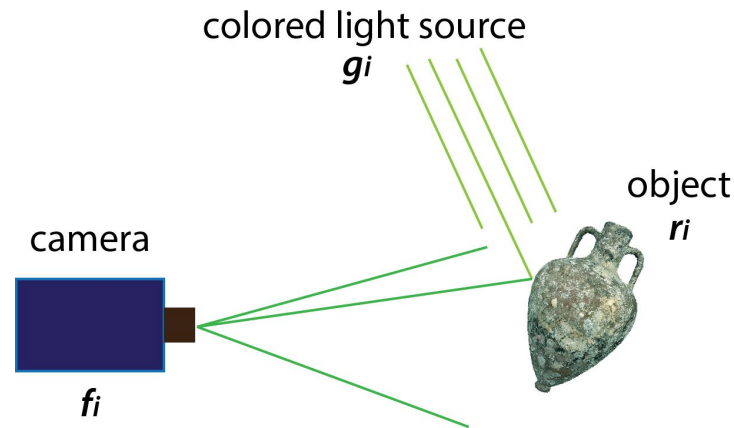
(by Gonzales and Woods, 1992)

$$f_i(m, n) = g_i(m, n) \times r_i(m, n)$$

$g_i(m, n) = \text{illuminant}$

$r_i(m, n) = \text{reflectance}$

$i = \{R, G, B\}$





Gray-world assumption

(by Buchsbaum, 1980)

假設對於有大量色彩變化的圖像, $\{R\ G\ B\}$ 三個分量的平均值會趨於同一個 gray-level。

換句話說, 這篇論文的缺點是如果圖像沒有的色彩變化, 假設就不成立, 後續的處理效果就沒有這麼好, 但大多數的自然風景圖像都會有大量的色彩變化。

最常用於白平衡的演算法中, 消除光源的影響。



Gray-world Algorithm

(by Ebner, 2007)

$$f_i^*(m, n) = 1 \times r_i(m, n) = \frac{f_i(m, n)}{g_i(m, n)} \approx \frac{f_i(m, n)}{\overline{f_i}}$$

where $f_i^*(m, n)$ = Output Image
 $\overline{f_i}$ = $mean\{f_i(m, n)\}$

Image Formation Model

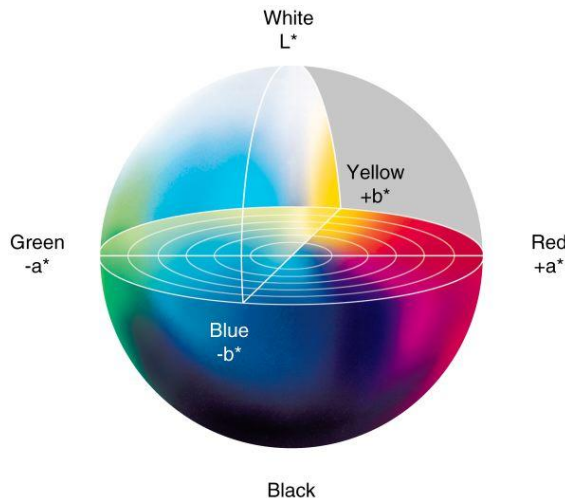
$g_i(m, n)$ = *illuminant*
 $r_i(m, n)$ = *reflectance*
 $i = \{R, G, B\}$

$l\alpha\beta$ color space

與顯示設備無關且基於生理特征來描述人視覺感應的顏色系統。

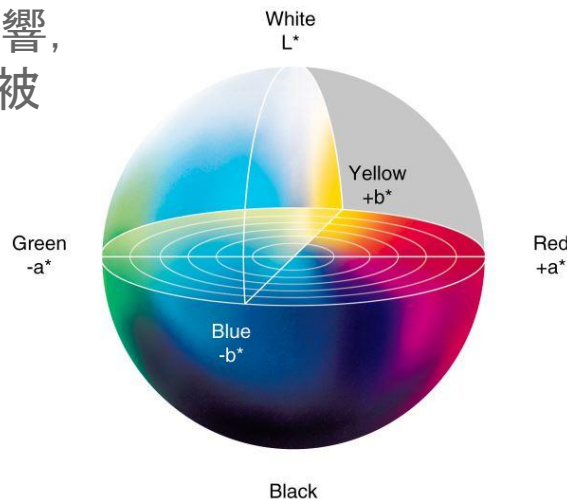
有三種 Channel:

- l 表示從純黑到純白，為像素的亮度；
- a 表示從紅色到綠色的範圍；
- β 表示從黃色到藍色的範圍；



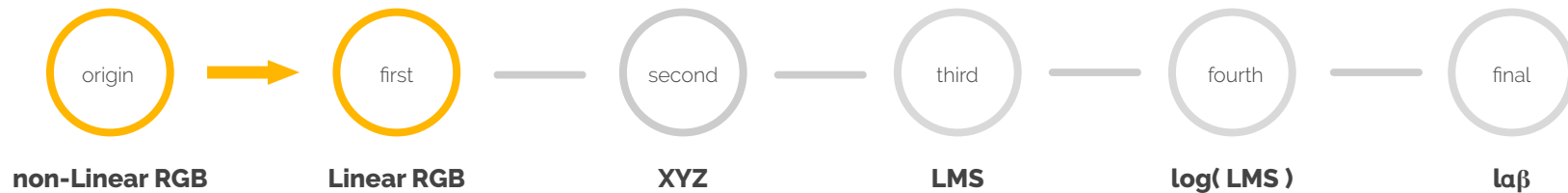
$l\alpha\beta$ color space

- 正因為 $l\alpha\beta$ 基於生理特征來描述人視覺感應，和人的視覺感知較為相近，且不會受顯示設備影響，很適合拿來做 color crrection，廣泛的被應用被各種色彩校準上。



RGB to $l\alpha\beta$

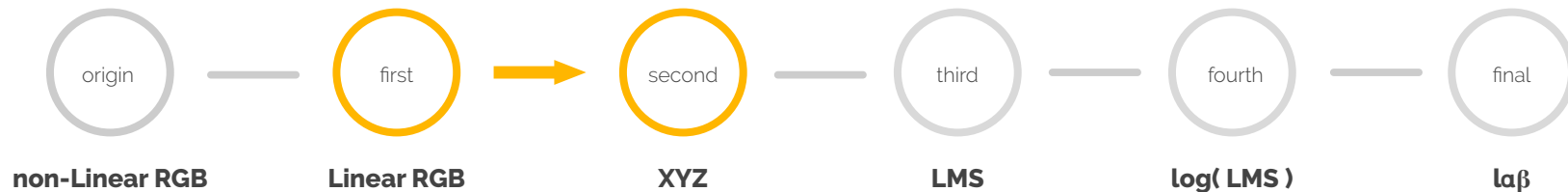
(by Reinhard et al., 2001)



RGB image has to be corrected by the non linearity (**gamma correction**), to work with linear RGB coordinates.

RGB to $l\alpha\beta$

(by Reinhard et al., 2001)

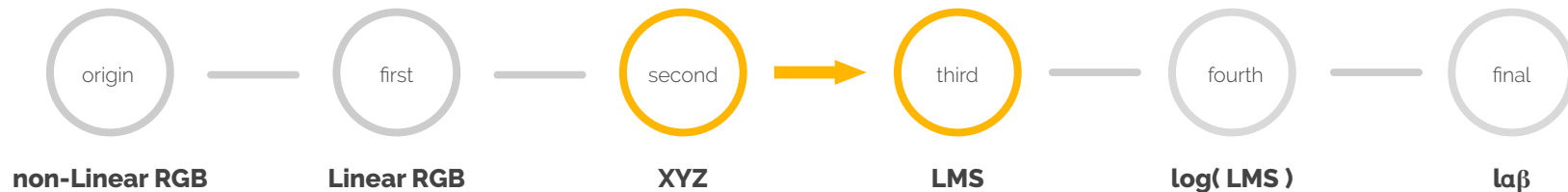


Linear RGB conversion in the XYZ tristimulus values.

$$\begin{bmatrix} X \\ Y \\ Z \end{bmatrix} = \begin{bmatrix} 0.5141 & 0.3239 & 0.1604 \\ 0.2651 & 0.6702 & 0.0641 \\ 0.0241 & 0.1228 & 0.8444 \end{bmatrix} \begin{bmatrix} R \\ G \\ B \end{bmatrix}$$

RGB to $l\alpha\beta$

(by Reinhard et al., 2001)

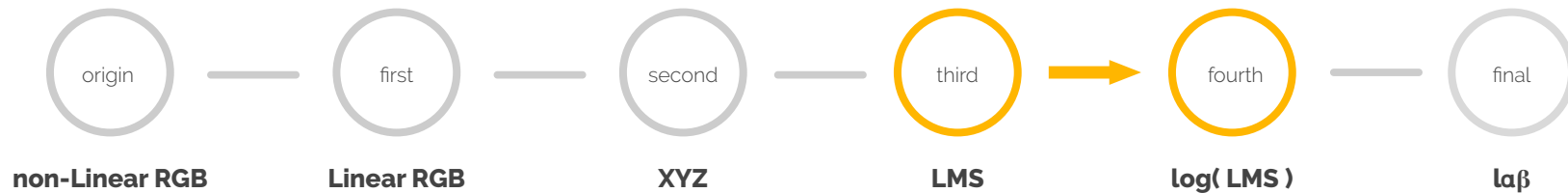


From this device-independent XYZ space, we convert the image to LMS space.

$$\begin{bmatrix} L \\ M \\ S \end{bmatrix} = \begin{bmatrix} 0.3897 & 0.6890 & -0.0787 \\ -0.2298 & 1.1834 & 0.0464 \\ 0.0000 & 0.0000 & 1.0000 \end{bmatrix} \begin{bmatrix} X \\ Y \\ Z \end{bmatrix}$$

RGB to laβ

(by Reinhard et al., 2001)



Transform the data in **logarithmic** space.

This step is a result of how our eyes detect lights non-linearly.

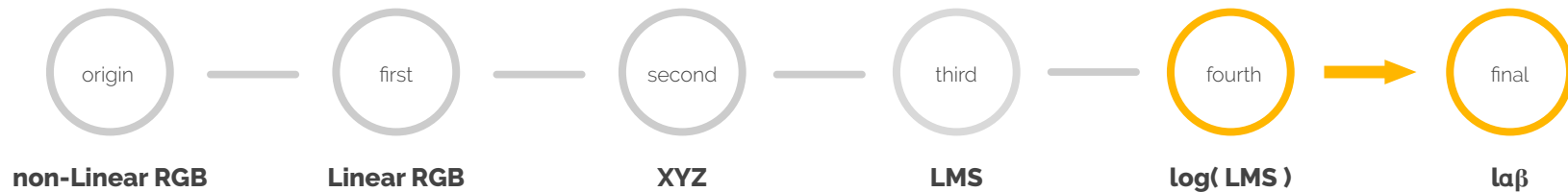
$$\mathbf{L} = \log L$$

$$\mathbf{M} = \log M$$

$$\mathbf{S} = \log S$$

RGB to $l\alpha\beta$

(by Reinhard et al., 2001)



log(LMS) Transform to $l\alpha\beta$

Achromatic $\propto r + g + b$

Yellow-blue $\propto r + g - b$

Red-green $\propto r - g$

$$\begin{bmatrix} l \\ \alpha \\ \beta \end{bmatrix} = \begin{bmatrix} \frac{1}{\sqrt{3}} & 0 & 0 \\ 0 & \frac{1}{\sqrt{6}} & 0 \\ 0 & 0 & \frac{1}{\sqrt{2}} \end{bmatrix} \begin{bmatrix} 1 & 1 & 1 \\ 1 & 1 & -2 \\ 1 & -1 & 0 \end{bmatrix} \begin{bmatrix} \mathbf{L} \\ \mathbf{M} \\ \mathbf{S} \end{bmatrix}$$



Color Correction



前面在定義需要用到的假設和其公式

現在要正式說明論文提出的 Color Correction 的演算法過程。

Color Correction



先依據 RGB to $l\alpha\beta$ 的過程，將 origin 圖像轉成 LMS。

$$l_i(m, n) = T_{rgb \rightarrow xyz} \times T_{xyz \rightarrow lms} \times f_i(m, n)$$

Color Correction



在 LMS space 套用 Gray World Algorithm

$$l_i^*(m, n) \approx \frac{l_i(m, n)}{\bar{l}_i}$$

Color Correction



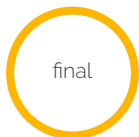
將做完 gray-world Algorithm 的 LMS 轉成 $l\alpha\beta$, 得到以下公式:

$$\log_{10} l_i^*(m, n) \approx \log_{10} \frac{l_i(m, n)}{\bar{l}_i} = \log_{10} l_i(m, n) - \log_{10} \bar{l}_i$$

$$T_{LMS \rightarrow l\alpha\beta} \times \log_{10} l_i^*(m, n) \approx T_{LMS \rightarrow l\alpha\beta} \times \log_{10} l_i(m, n) - T_{LMS \rightarrow l\alpha\beta} \times \log_{10} \bar{l}_i$$
$$l_{l\alpha\beta, i}^*(m, n) \approx l_{l\alpha\beta, i}(m, n) - \bar{l}_{l\alpha\beta, i}$$



Color Correction



final

$l_{\alpha\beta}$

將得到的公式對 { α, β } channel 做處理

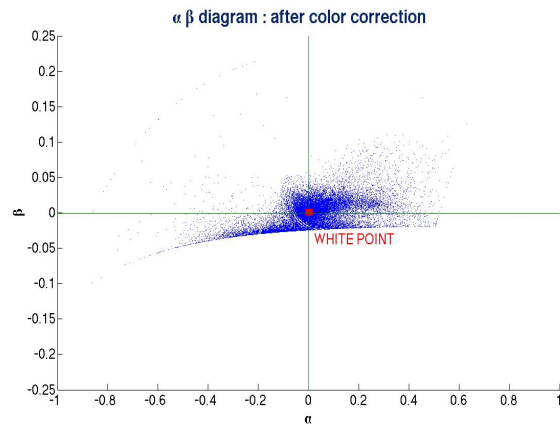
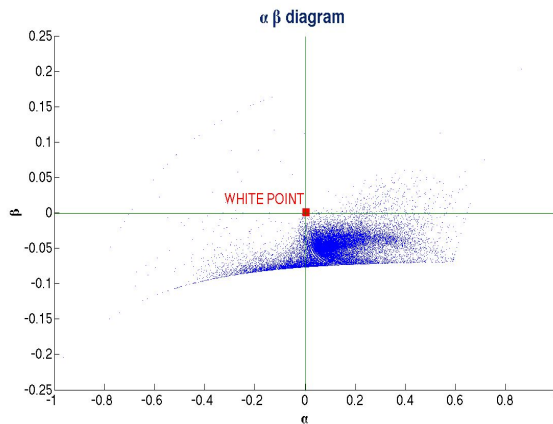
$$l_{l_{\alpha\beta},i}^*(m, n) \approx l_{l_{\alpha\beta},i}(m, n) - \overline{l_{l_{\alpha\beta},i}}$$

Color Correction

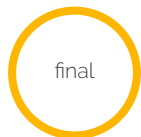
final

$l\alpha\beta$

值得一提的是, 原先的 gray-world algorithm 會把 RGB space 平均移到 $\{1, 1, 1\}$, 而在 $l\alpha\beta$ space 底下則會跑到 $\{0, 0, 0\}$



Color Correction



laß

{ L } channel 也可以不做 gray-world Algorithm, 做了可以增加 illumination 的對比度, 另外也可以做 histogram stretching 達到差不多的效果。



4

Expected results



Part of a **brick wall**

in which a **greenish component** is present.





Amphora (Kas, Turkey)

in which a bluish component is dominant.





Real-time implement

因為在應用上大多都需要快速預覽結果，希望越快越好。本篇論文的方法在實作上時間複雜度為 $\text{big-O}(n)$ by $n = \text{Width} * \text{Height}$

作者在 Mac 上使用 matlab 實作，591x892 的照片平均 0.7 秒
Apple Mac SPEC:

- Processor 2.7 GHz Core i7
- 16 GB 1600 MHz DDR3 Memory
- NVIDIA GeForce GT 650M 1024 MB

5

Reference



Image sources

1. P05. background:
 - <http://news.algaeworld.org/2016/05/underwater-forests-restored-off-sydneys-iconic-beaches/>
2. P10. Drake meme:
 - <https://youtu.be/uxpDa-c-4Mc?t=78>
3. P16. Lab Chart
 - <https://genialfoto.com/bild/lab-color-chart-e1.html>



Thanks!

Any questions?